

# ВЛИЯНИЕ ГРАНИЧНЫХ ПОВЕРХНОСТЕЙ НА ЭФФЕКТИВНУЮ ДИЭЛЕКТРИЧЕСКУЮ ВОСПРИИМЧИВОСТЬ СПИРАЛЬНОЙ СТРУКТУРЫ СЕГНЕТОЭЛЕКТРИЧЕСКОГО ЖИДКОГО КРИСТАЛЛА

*A. V. Казначеев<sup>a</sup>\*, Е. П. Пожидаев<sup>b</sup>\*\**

*<sup>a</sup> Институт элементоорганических соединений им. А. Н. Несмеянова Российской академии наук  
119991, Москва, Россия*

*<sup>b</sup> Физический институт им. П. Н. Лебедева Российской академии наук  
119991, Москва, Россия*

Поступила в редакцию 3 февраля 2015 г.

Представлены результаты теоретического исследования влияния граничных поверхностей жидкокристаллической ячейки на эффективную диэлектрическую восприимчивость спиральной структуры сегнетоэлектрического жидкого кристалла со смектической фазой  $C^*$  ( $C^*$ ЖК). Для этого рассмотрен вопрос о деформации и раскрутке спирали твердыми поверхностями, ограничивающими слой  $C^*$ ЖК. Получено аналитическое выражение для критической толщины  $d_c$  жидкокристаллического слоя, при которой происходит раскрутка спирали поверхностями. При расчете эффективной диэлектрической восприимчивости показано, что деформация спирали  $C^*$ ЖК границами приводит к возникновению анизотропии эффективной диэлектрической восприимчивости в плоскости, перпендикулярной оси спирали.

DOI: 10.7868/S0044451015080234

## 1. ВВЕДЕНИЕ

В настоящее время хорошо известны сегнетоэлектрические жидкие кристаллы ( $C^*$ ЖК) [1–4], которые были предсказаны и синтезированы в 1975 г. Р. Майером с соавторами [1]. Сегнетоэлектричество в жидких кристаллах существует в смектической фазе  $C^*$ . Эта фаза, как и другие жидкокристаллические фазы, состоит из молекул, имеющих анизометрическую форму. За счет взаимодействия между такими молекулами возникает дальний ориентационный порядок их длинных осей, который приводит к анизотропии различных физических параметров. Центры масс молекул расположены в плоскопараллельных слоях. В каждом смектическом слое директор  $\mathbf{n}$ , т. е. направление преимущественной ориентации длинных осей молекул, наклонен на угол  $\theta$  от-

носительно нормали к слою. Смектические слои фазы  $C^*$  имеют точечную группу симметрии  $c_2$ . Ось второго порядка расположена в плоскости смектического слоя перпендикулярно плоскости наклона директора. Отсутствие плоскостей симметрии связано с киральностью молекул фазы  $C^*$ . Поэтому, при наличии у молекул дипольного момента, возникает спонтанная поляризация  $\mathbf{P}_s$ , направленная вдоль полярной оси  $c_2$ . При переходе от слоя к слою полярный угол  $\theta$  остается постоянным, а азимутальный угол  $\varphi$ , задающий ориентацию директора в плоскости слоя, изменяется. В результате возникает спиральная структура поля директора и спонтанной поляризации. Такие  $C^*$ ЖК называют спиральными или геликоидальными (от английского helix — спираль).

В последние десятилетия интенсивно ведутся исследования физических свойств  $C^*$ ЖК. К этим свойствам относятся коэффициенты вязкости, константы упругости, энергия взаимодействия  $C^*$ ЖК с граничными поверхностями, диэлектрическая восприимчивость в нулевом поле и др. [5–8]. Кроме

\*E-mail: kazna@ineos.ac.ru

\*\*E-mail: epozhidaev@mail.ru

фундаментального значения, физические характеристики  $C^*$ ЖК имеют важное практическое значение. Например, они необходимы при расчете работы электрооптических элементов [9].

В работе [10] теоретически изучалась эффективная диэлектрическая восприимчивость  $\chi_G$  спиральной структуры  $C^*$ ЖК в нулевом электрическом поле. Под эффективной диэлектрической восприимчивостью в нулевом электрическом поле понимается величина  $\chi_G = (dP/dE)_{E=0}$ , где  $P$  — поляризация  $C^*$ ЖК, вызванная искажением поля директора и, соответственно, поля спонтанной поляризации, электрическим полем. Было показано, что в системе единиц СИ  $\chi_G = P_S^2/2\epsilon_0 K_\varphi q_0^2 \sin^2 \theta$ , где  $P_S$  — спонтанная поляризация,  $K_\varphi$  — константа упругости, связанная с кручением директора относительно нормали к смектическим слоям,  $q_0 = 2\pi/r_0$  — волновой вектор спирали,  $r_0$  — естественный шаг спирали в отсутствие поля. Представленная формула для  $\chi_G$  получена в предположении, что  $C^*$ ЖК занимает бесконечный объем, электрическое поле прикладывается перпендикулярно оси спирали. Однако при измерении физических свойств жидкких кристаллов последние помещаются в тонкие измерительные ячейки толщиной несколько микрометров, поэтому можно ожидать, что взаимодействие  $C^*$ ЖК с границами может существенно влиять на измеренные значения различных физических величин, в том числе и на  $\chi_G$ . В частности, в работе [11] экспериментально установлено, что при уменьшении толщины слоя  $C^*$ ЖК происходит подавление спирали поверхностями измерительной ячейки, что до сих пор не описано в теории.

Целью настоящей работы является теоретическое исследование зависимости эффективной диэлектрической восприимчивости  $\chi_G$  от толщины слоя  $C^*$ ЖК в измерительной ячейке. Эта зависимость возникает вследствие взаимодействия слоя  $C^*$ ЖК с ограничивающими его твердыми поверхностями.

В разд. 2 представлено теоретическое описание деформации спирали  $C^*$ ЖК и ее раскрутка при взаимодействии с граничными твердыми поверхностями. В разд. 3 представлен расчет эффективной диэлектрической восприимчивости  $C^*$ ЖК, спираль которого деформирована граничными поверхностями. Расчет проводится для двух случаев. В одном случае границы стремятся ориентировать директор в их плоскости, в другом — перпендикулярно их плоскости. В разд. 4 суммированы основные результаты работы.

## 2. РАСКРУТКА СПИРАЛЬНОГО СЕГНЕТОЭЛЕКТРИЧЕСКОГО ЖИДКОГО КРИСТАЛЛА ГРАНИЦАМИ

Вопрос о раскрутке спиральной структуры холестерического жидкого кристалла границами, рассматривался ранее [12], где для упрощения вычислений был использован поверхностный потенциал в виде квадратичной функции угла отклонения директора от оси легкого ориентирования. Этот потенциал является неаналитическим при углах отклонения  $\pm\pi/2$ . Одноконстантное приближение, принятое в работе [12], упрощает задачу, и в случае холестерических жидкких кристаллов вполне оправдано, так как величина всех констант упругости одного порядка  $10^{-11}$  Н [2].

Для  $C^*$ ЖК это не так. В нашей работе [7] экспериментально показано, что внутрислоевые константы упругости составляют  $1 \cdot 10^{-8}$ — $3 \cdot 10^{-7}$  Н, что на три—четыре порядка больше, чем типичные значения констант упругости нематических и холестерических жидкких кристаллов. Поэтому в области малых толщин измерительных ячеек (до 10 мкм) искажение поля директора внутри смектических слоев практически не наблюдается. В связи с этим упругие слагаемые, связанные с внутрислоевыми константами упругости, в выражении для свободной энергии в настоящей работе не учитываются.

На рис. 1 представлена геометрия измерительной ячейки и ориентация директора в смектических слоях. Ось спирали расположена в плоскости ячейки и совпадает с направлением координатной оси  $x$ . Смектические слои ориентированы перпендикулярно плоскости ячейки. При постановке задачи о раскрутке спирали  $C^*$ ЖК граничными поверхностями исходим из выражения для свободной энергии  $F$  спиральной структуры  $C^*$ ЖК — ячейки, приходящейся на равновесный шаг спирали  $r$ :

$$F = \int_0^p \left[ \frac{K_\varphi d}{2} \left( \frac{d\varphi}{dx} - q_0 \right)^2 + W \cos^2 \varphi \right] dx. \quad (1)$$

Первое слагаемое под знаком интеграла — плотность упругой энергии, угол поворота директора  $\varphi$  зависит только от координаты  $x$ , толщина ячейки  $d$  появляется в результате интегрирования по координате  $z$ . Во втором слагаемом использован поверхностный потенциал  $F_S = (W/2) \cos^2 \varphi$ , формально совпадающий с потенциалом Рапини [13] для случая двух идентичных граничных поверхностей.

При таком виде поверхностного потенциала ось легкого ориентирования  $\mathbf{c}$ -директора лежит в плоскости ячейки и направлена вдоль оси  $y$  (рис. 1)

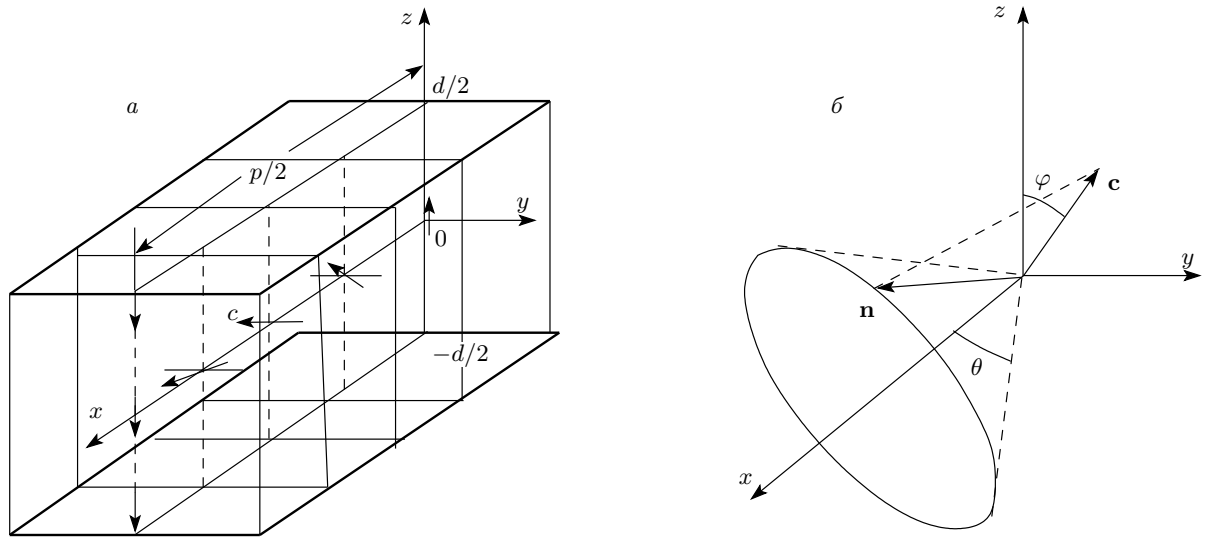


Рис. 1. Геометрия измерительной ячейки (а) и ориентация директора  $\mathbf{n}$  в смектических слоях (б)

( $\mathbf{c}$ -директор — составляющая вектора  $\mathbf{n}$ , расположенная в плоскости смектического слоя). При раскрутке спирали  $C^*\text{ЖК}$  смектические слои остаются перпендикулярными плоскости ячейки, а директор  $\mathbf{n}$  ориентирован в плоскости  $xy$  (рис. 1).

Удобно записать выражение (1) в безразмерном виде:

$$\tilde{F} = \int_0^{q_0 p} \left[ \left( \frac{d\varphi}{d\tilde{x}} - 1 \right)^2 + \frac{\pi^2}{4} \tilde{d} \cos^2 \varphi \right] d\tilde{x}, \quad (2)$$

где  $\tilde{F} = 2F/K_\varphi dq_0$  — безразмерная энергия,  $\tilde{x} = q_0 x$  — безразмерная координата,  $\tilde{d} = d_c/d$  — безразмерная толщина ячейки,  $d_c = 8W/\pi^2 K_\varphi q_0^2$  — характерный размер задачи. В дальнейшем будет показано, что  $d_c$  — критическая толщина ячейки, при которой происходит раскрутка спирали  $C^*\text{ЖК}$ . Если использовать типичные значения  $W \approx 10^{-3}$  Дж/м<sup>2</sup> [7, 8] и  $K_\varphi \approx 10^{-11}$  Н [14], то при  $p_0 = 1$  мкм значение  $d_c = 2$  мкм. Задача состоит в определении функции  $\varphi(\tilde{x})$  и зависимости  $p(\tilde{d})$ , исходя из минимизации функционала (2).

Поскольку подынтегральное выражение функционала (2) не зависит от координаты  $\tilde{x}$  явно, можно сразу записать первый интеграл уравнения равновесия для функции  $\varphi(\tilde{x})$ , которое получается при минимизации (2)

$$\frac{4}{\pi^2 \tilde{d}} \left( \frac{d\varphi}{d\tilde{x}} \right)^2 + \sin^2 \varphi = \frac{1}{k^2}, \quad (3)$$

где  $1/k^2$  — постоянная интегрирования, зависящая от  $\tilde{d}$ . Интегрирование уравнения (3) позволяет получить неявную зависимость  $\varphi(\tilde{x})$ :

$$\frac{\pi \tilde{d}^{1/2} \tilde{x}}{2k} = \int_0^\varphi \frac{d\psi}{\sqrt{1 - k^2 \sin^2 \psi}}. \quad (4)$$

Постоянная интегрирования  $k$  определяется из условия минимума свободной энергии, приходящейся на единицу длины оси спирали, т. е.

$$\frac{d}{dk} \left( \frac{\tilde{F}}{q_0 p} \right) = 0, \quad (5)$$

где

$$p = 8kG_1(k)/\pi \tilde{d}^{1/2} q_0 \quad (6)$$

находится из (4),

$$G_1(k) = \int_0^{\pi/2} \frac{d\psi}{\sqrt{1 - k^2 \sin^2 \psi}}$$

— полный эллиптический интеграл первого рода. Решение уравнения (5) позволяет определить неявную зависимость  $k(\tilde{d})$ :

$$\tilde{d} = \frac{k^2}{G_2^2(k)}, \quad (7)$$

где

$$G_2(k) = \int_0^{\pi/2} \sqrt{1 - k^2 \sin^2 \psi} d\psi$$

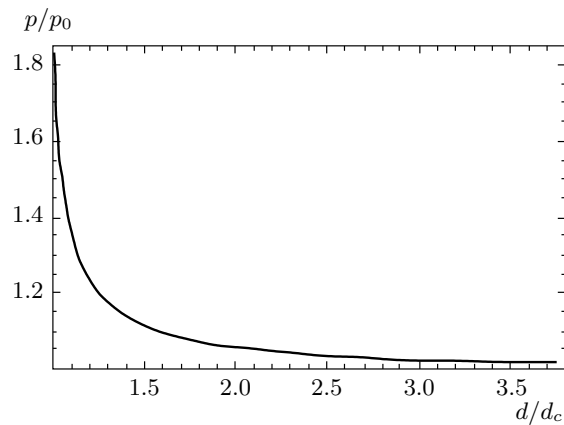


Рис. 2. Зависимость безразмерного шага  $p/p_0$  спирали  $C^*\text{ЖК}$  от безразмерной толщины жидкокристаллической ячейки  $d/d_c$ ,  $p_0$  — естественный шаг невозмущенной спирали,  $d_c$  — критическая толщина ячейки, при которой происходит раскрутка спирали  $C^*\text{ЖК}$  граничными поверхностями

— полный эллиптический интеграл второго рода. Из формулы (7) можно получить асимптотики функции  $k(\tilde{d})$ . При  $\tilde{d} \ll 1$  ( $d \gg d_c$ ),  $k^2 \approx \tilde{d}$ . При  $\tilde{d} \rightarrow 1$  ( $d \rightarrow d_c$ ),  $k^2 \rightarrow 1$ .

Подставляя формулу (7) в выражение (6), получаем зависимость шага спирали от  $k$ :

$$p = p_0 \frac{4}{\pi^2} G_1(k) G_2(k). \quad (8)$$

Из этой формулы следует, что при  $k \rightarrow 0$ ,  $p \rightarrow p_0$ , а при  $k \rightarrow 1$ ,  $p \rightarrow \infty$ . Выражения (7) и (8) представляют зависимость  $p(\tilde{d})$  в параметрической форме, график которой представлен на рис. 2. Из этого рисунка следует, что  $d_c \sim W p_0^2 / K_\varphi$  является критической толщиной ячейки, при которой шаг спирали расходится.

Подставляя формулу (6) в выражение (4), получаем неявную зависимость  $\varphi(\tilde{x})$ , в которой исключен параметр  $\tilde{d}$ :

$$4G_1(k)\tilde{x} = \int_0^\varphi \frac{d\psi}{\sqrt{1 - k^2 \sin^2 \psi}}, \quad (9)$$

где  $\tilde{x} = x/p$ . Так как при  $\tilde{d} \ll 1$  ( $d \gg d_c$ ),  $k^2 \approx \tilde{d}$ ,  $p \approx p_0$  то, раскладывая в ряд эллиптические интегралы в формуле (9) по степеням  $k$ , можно получить явную зависимость  $\varphi(\tilde{x})$ :

$$\varphi(x) \approx q_0 x + \frac{\pi^2}{32} \frac{d_c}{d} \sin 2q_0 x. \quad (10)$$

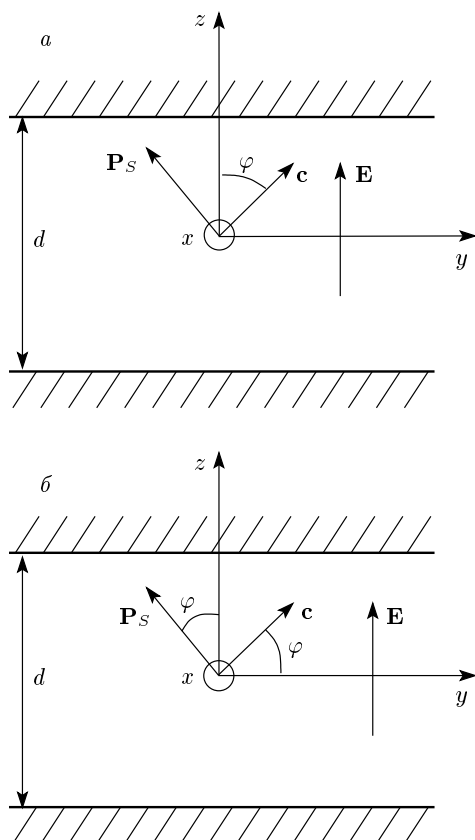
Если границы стремятся ориентировать **c**-директор перпендикулярно плоскости ячейки, то полученные выше результаты остаются без изменений, если угол  $\varphi$  отсчитывать от оси  $y$  (рис. 1).

В заключение настоящего раздела отметим, что если в функционале (2) произвести формальную замену  $\tilde{d} \rightarrow h^2$ , где  $h = H/H_c$ ,  $H$  — напряженность магнитного поля,  $H_c = \pi^2(K_2/\chi_a)^{1/2}/p_0$  — критическое магнитное поле раскрутки холестерической спиралей,  $\chi_a > 0$  — анизотропия магнитной восприимчивости, то функционал (2) совпадает с выражением для энергии безграничной холестерической спиралей, находящейся в поперечном магнитном поле [2, 15]. Воспользовавшись данной аналогией, можно сразу утверждать, что  $d_c$  — это критическая толщина ячейки, при которой происходит раскрутка спирали  $C^*\text{ЖК}$ , а также записать точное решение задачи для функции  $\varphi(\tilde{x})$  и зависимости шага спирали от толщины ячейки. Данная аналогия имеет место в силу того, что внутрислоевые константы упругости  $C^*\text{ЖК}$  велики по сравнению с  $K_\varphi$  [7]. Поэтому влияние границ распространяется в объем жидкого кристалла, а энергия сцепления  $W$  выступает в роли квадрата напряженности магнитного поля.

### 3. ЭФФЕКТИВНАЯ ДИЭЛЕКТРИЧЕСКАЯ ВОСПРИИМЧИВОСТЬ СПИРАЛЬНОЙ СТРУКТУРЫ СЕГНЕТОЭЛЕКТРИЧЕСКОГО ЖИДКОГО КРИСТАЛЛА, ДЕФОРМИРОВАННОГО ГРАНИЦАМИ

При экспериментальном исследовании эффективной диэлектрической восприимчивости электрическое поле прикладывается к ограничивающим жидкокристаллический слой твердым поверхностям, на которые нанесены ИТО электроды, и направлено вдоль оси  $z$  (рис. 3). Измерение индуцированной поляризации ячейки в направлении  $z$  позволяет определить  $\chi_G$ .

В процессе раскрутки спирали  $C^*\text{ЖК}$  границами поле **c**-директора искажается. В результате, в плоскости  $yz$ , перпендикулярной оси спирали (рис. 1), возникает анизотропия эффективной диэлектрической восприимчивости. Значение восприимчивости зависит от угла между прикладываемым электрическим полем и направлением оси легкого ориентирования **c**-директора. В связи с этим рассмотрим два случая. Первый, когда ось легкого ориентирования **c**-директора перпендикулярна электрическому полю, и второй, когда ось легкого ориенти-



**Рис. 3.** Геометрия взаимного расположения спирали  $C^*$ ЖК, направленной вдоль оси  $x$ , напряженности электрического поля  $\mathbf{E}$  и спонтанной поляризации  $\mathbf{P}_S$ : *а* — ось легкого ориентирования с-директора направлена вдоль оси  $y$ ; *б* — ось легкого ориентирования с-директора направлена вдоль оси  $z$

рования с-директора параллельна электрическому полю.

### 3.1. Ось легкого ориентирования с-директора перпендикулярна электрическому полю

Для расчета эффективной диэлектрической восприимчивости  $C^*$ ЖК, находящегося в жидкокристаллической ячейке, определим зависимость поляризации ячейки  $P_{cell}$  от напряженности электрического поля  $E$ . Ось спирали  $C^*$ ЖК расположена в плоскости ячейки и совпадает с осью  $x$ , электрическое поле прикладывается в направлении оси  $z$  (рис. 3*a*). Под действием границ и электрического поля спираль  $C^*$ ЖК деформируется и возникает  $P_{cell}$ , которая рассчитывается по формуле

$$P_{cell} = \frac{P_S}{p} \int_0^p \sin \varphi dx = \frac{P_S}{p} \int_0^{2\pi} \sin \varphi \frac{dx}{d\varphi} d\varphi. \quad (11)$$

Для вычисления (11) необходимо знать  $dx/d\varphi$ . Для этого запишем выражение для свободной энергии  $F$ , в котором кроме упругой и поверхностной энергий учитывается электрическая энергия:

$$F = \int_0^p \left[ \frac{K_\varphi d}{2} \left( \frac{d\varphi}{dx} - q_0 \right)^2 + W \cos^2 \varphi - P_S E d \sin \varphi \right] dx, \quad (12)$$

где третье слагаемое под знаком интеграла представляет плотность электрической энергии, обусловленную взаимодействием спонтанной поляризации с электрическим полем. Удобно записать выражение (12) в безразмерном виде:

$$\tilde{F} = \int_0^{q_0 p} \left[ \left( \frac{d\varphi}{d\tilde{x}} - 1 \right)^2 + \frac{\pi^2}{4} \tilde{d} \cos^2 \varphi - \frac{\pi^2}{8} \tilde{E} \sin \varphi \right] d\tilde{x}, \quad (13)$$

где  $\tilde{F}$ ,  $\tilde{x}$ ,  $\tilde{d}$  были введены в формуле (2),  $\tilde{E} = E/E_c$  — безразмерное электрическое поле,  $E_c = \pi^2 K_\varphi q_0^2 / 16 P_S$  — характерное поле задачи.

Поскольку подынтегральное выражение функционала (13) не зависит от координаты  $\tilde{x}$  явно, можно сразу записать первый интеграл уравнения равновесия для функции  $\varphi(\tilde{x})$ , которое получается при минимизации (13)

$$\frac{dx}{d\varphi} = \frac{2k}{\pi q_0 \tilde{d}^{1/2}} \frac{1}{\sqrt{1 - k^2 \sin^2 \varphi - \alpha \sin \varphi}}, \quad (14)$$

где  $k$  — постоянная интегрирования,  $\alpha = k^2 \tilde{E} / 2 \tilde{d}$ . При  $\tilde{E} \ll 1$  имеем  $\alpha \ll 1$ . Раскладывая правую часть выражения (14) по степеням  $\alpha$  до первого порядка малости, получаем

$$\frac{dx}{d\varphi} \approx \frac{2k}{\pi q_0 \tilde{d}^{1/2}} \times \times \left[ \frac{1}{\sqrt{1 - k^2 \sin^2 \varphi}} + \frac{k^2 \tilde{E}}{4 \tilde{d}} \frac{\sin \varphi}{(1 - k^2 \sin^2 \varphi)^{3/2}} \right]. \quad (15)$$

Подставляя формулу (15) в подынтегральное выражение (11), получаем поляризацию ячейки

$$P_{cell} = \frac{P_S}{p} \frac{2k}{\pi q_0 \tilde{d}^{1/2}} \left[ \int_0^{2\pi} \frac{\sin \varphi d\varphi}{\sqrt{1 - k^2 \sin^2 \varphi}} + \right. \\ \left. + \frac{k^2 \tilde{E}}{\tilde{d}} \int_0^{\pi/2} \frac{\sin^2 \varphi d\varphi}{(1 - k^2 \sin^2 \varphi)^{3/2}} \right]. \quad (16)$$

В силу симметрии подынтегральной функции, первый интеграл в формуле (16) равен нулю, поэтому

$$P_{cell} = \frac{2P_S k^3}{\pi q_0 p \tilde{d}^{3/2}} G_y(k) \frac{E}{E_c}, \quad (17)$$

где

$$G_y(k) = \int_0^{\pi/2} \frac{\sin^2 \varphi d\varphi}{(1 - k^2 \sin^2 \varphi)^{3/2}}.$$

Используя определение, получаем выражение для эффективной диэлектрической восприимчивости  $\chi_y$  жидкокристаллической ячейки в нулевом электрическом поле:

$$\chi_y = \frac{dP_{cell}}{dE} = \frac{2P_S k^3 G_y(k)}{\pi q_0 p \tilde{d}^{3/2} E_c}. \quad (18)$$

Индекс  $y$  указывает направление оси легкого ориентирования **c**-директора. Выражая  $q_0 p$  и  $\tilde{d}$  через  $k$ , используя формулы (7) и (8), представим эффективную диэлектрическую восприимчивость в виде

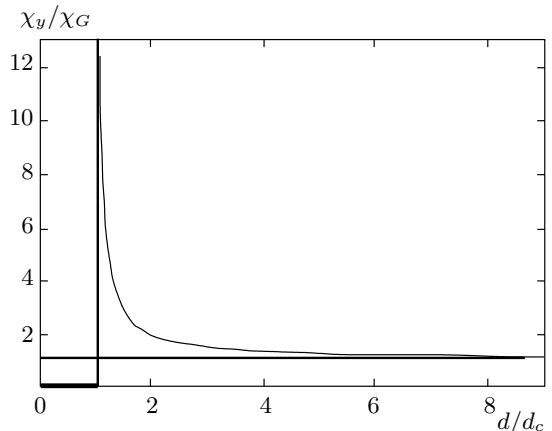
$$\chi_y = \chi_G f(k), \quad (19)$$

где  $\chi_G = P_S^2 / 2K_\varphi q_0^2$  — эффективная диэлектрическая восприимчивость безграничной спирали  $C^*\text{ЖК}$ ,  $f(k) = 8G_2^2 G_y / \pi^2 G_1$ ;  $G_1$  и  $G_2$  — полные эллиптические интегралы первого и второго рода,  $G_y(k)$  введено в формуле (17). Формулы (19) и (7) представляют зависимость эффективной диэлектрической восприимчивости от толщины жидкокристаллического слоя, записанную в параметрическом виде. График этой зависимости представлен на рис. 4. При  $d \gg d_c$  ( $\tilde{d} \ll 1$ ,  $k \ll 1$ ). В этом случае

$$f(k) \approx 1 + \frac{3}{8} k^2, \quad \chi_y \approx \chi_G \left( 1 + \frac{3\pi^2}{32} \frac{d_c}{d} \right).$$

Расходимость  $\chi_y$  при  $d \rightarrow d_c$  связана с тем, что раскрутка спирали границами является фазовым переходом второго рода.

При  $d < d_c$ , когда спираль раскручена границами,  $\varphi = \pi/2$  или  $-\pi/2$ . В этом случае вектор напряженности электрического поля параллелен или антитараллен спонтанной поляризации. Включение



**Рис. 4.** Зависимость безразмерной диэлектрической восприимчивости  $\chi_y/\chi_G$  от безразмерной толщины жидкокристаллической ячейки  $d/d_c$ ,  $\chi_G$  — эффективная диэлектрическая восприимчивость неограниченной спирали  $C^*\text{ЖК}$ ,  $d_c$  — критическая толщина ячейки, при которой происходит раскрутка спирали  $C^*\text{ЖК}$  граничными поверхностями

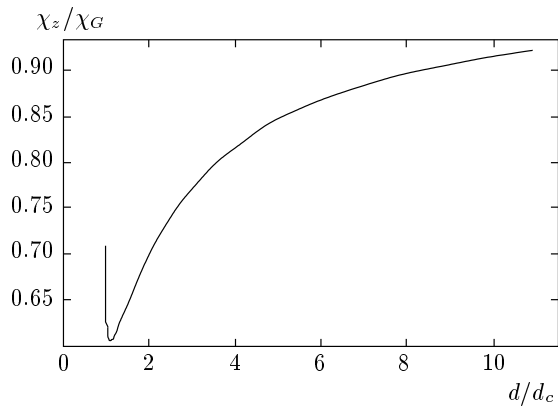
слабого электрического поля понижает или немногоД увеличивает свободную энергию, равновесное значение угла  $\varphi$  при этом не изменяется и поляризация ячейки не изменяется, поэтому восприимчивость  $C^*\text{ЖК}$  при  $d < d_c$  равна нулю.

### 3.2. Ось легкого ориентирования **c**-директора параллельна электрическому полю

Рассмотрим случай, когда электрическое поле параллельно оси легкого ориентирования **c**-директора, т. е. границы стремятся ориентировать **c**-директор перпендикулярно плоскости жидкокристаллической ячейки. Чтобы минимально изменять проделанные выше вычисления, удобно отсчитывать угол  $\varphi$  от оси  $y$  (рис. 3б). В этом случае в выражении для безразмерной свободной энергии (13) происходит изменение только электрического слагаемого, в котором  $\sin \varphi$  заменяется на  $\cos \varphi$ . В результате можем записать:

$$\tilde{F} = \int_0^{q_0 p} \left[ \left( \frac{d\varphi}{d\tilde{x}} - 1 \right)^2 + \frac{\pi^2}{4} \tilde{d} \cos^2 \varphi - \right. \\ \left. - \frac{\pi^2}{8} \tilde{E} \cos \varphi \right] d\tilde{x}. \quad (20)$$

Далее, проводя вычисления, аналогичные проделанным выше, можно показать, что выражение для эффективной диэлектрической восприимчивости  $\chi_z$



**Рис. 5.** Зависимость безразмерной диэлектрической восприимчивости  $\chi_z/\chi_G$  от безразмерной толщины жидкокристаллической ячейки  $d/d_c$ ,  $\chi_G$  — эффективная диэлектрическая восприимчивость неограниченной спирали  $C^*\text{ЖК}$ ,  $d_c$  — критическая толщина ячейки, при которой происходит раскрутка спирали  $C^*\text{ЖК}$  граничными поверхностями

имеет тот же вид, что и (19). Индекс  $z$  указывает направление оси легкого ориентирования  $c$ -директора. Отличие состоит в том, что функция  $G_y(k)$  заменяется на функцию  $G_z(k)$ , которая имеет вид

$$G_z(k) = \int_0^{\pi/2} \frac{\cos^2 \varphi \, d\varphi}{(1 - k^2 \sin^2 \varphi)^{3/2}}.$$

График зависимости эффективной диэлектрической восприимчивости  $\chi_z$  от толщины ячейки представлен на рис. 5. Для случая  $d \gg d_c$  ( $\tilde{d} \ll 1$ ),  $k \ll 1$ . В этом случае

$$f(k) \approx 1 - \frac{3}{8} k^2, \quad \chi_z \approx \chi_G \left( 1 - \frac{3\pi^2}{32} \frac{d_c}{\tilde{d}} \right).$$

При  $d = d_c$  ( $\tilde{d} = 1$ ) имеем  $k = 1$  и  $\chi_z = 8\chi_G/\pi^2$ .

При  $d < d_c$  спираль раскручена границами и  $\varphi$  не зависит от координаты  $x$ . Для расчета восприимчивости в этом интервале значений толщины исходим из выражения для свободной энергии (20), в котором отсутствуют упругие слагаемые. В этом случае выражение для свободной энергии имеет вид

$$\tilde{F} = q_0 p \frac{\pi^2}{4} \left[ \tilde{d} \cos^2 \varphi - \frac{\tilde{E}}{2} \cos \varphi \right]. \quad (21)$$

Исследуя на экстремум функцию (21), находим равновесные значения  $\varphi$ :  $\varphi = 0$  и  $\cos \varphi = \tilde{E}/4\tilde{d}$ . Значение  $\varphi = 0$  соответствует максимуму энергии (21),

поэтому это решение является неустойчивым. Подставляя второе решение в выражение для поляризации ячейки, получаем

$$P_{cell} = P_S \cos \varphi = \frac{P_S}{4} \frac{Ed}{E_c d_c}.$$

Тогда выражение для эффективной диэлектрической восприимчивости принимает вид

$$\chi_z = \frac{dP_{cell}}{dE} = \frac{P_S}{4E_c d_c} d = \frac{P_S^2}{2W} d. \quad (22)$$

В рассмотренной области значений толщины диэлектрическая восприимчивость линейно зависит от толщины жидкокристаллической ячейки. Подставляя в формуле (22) значение  $d = d_c$ , получаем  $\chi_z = 8\chi_G/\pi^2$ .

Полученный результат показывает, что при  $d = d_c$  функция  $\chi_z(d)$  непрерывна, однако имеет излом, т. е. является неаналитической.

Таким образом, деформация спирали  $C^*\text{ЖК}$  границами приводит к возникновению анизотропии эффективной диэлектрической восприимчивости в плоскости  $yz$ , которая перпендикулярна оси спирали. Величины  $\chi_y$  и  $\chi_z$  являются главными значениями тензора диэлектрической восприимчивости, причем поведение этих величин в зависимости от толщины жидкокристаллической ячейки различно.

#### 4. ЗАКЛЮЧЕНИЕ

В настоящей работе представлены результаты исследования влияния граничных поверхностей на эффективную диэлектрическую восприимчивость слоя спирального сегнетоэлектрического жидкого кристалла. Для этого рассмотрен вопрос о деформации и раскрутке спирали  $C^*\text{ЖК}$  границами. Рассмотрение проводится в предположении, обоснованном ранее экспериментально, что внутрислоевые константы упругости достаточно велики. Это позволяет существенно упростить задачу и получить аналитическое выражение для критической толщины  $d_c$  жидкокристаллического слоя, при которой происходит раскрутка спирали  $C^*\text{ЖК}$ . Показано, что  $d_c$  пропорциональна квадрату естественного шага спирали, поэтому при экспериментальном исследовании раскрутки спирали  $C^*\text{ЖК}$  желательно выбирать вещества с шагом спирали несколько микрометров. Это позволит достичь экспериментально наблюдаемых значений  $d_c$  несколько микрометров.

При расчете эффективной диэлектрической восприимчивости показано, что деформация спирали  $C^*\text{ЖК}$  границами приводит к возникновению

анизотропии восприимчивости в плоскости, перпендикулярной оси спирали. Рассчитаны главные значения  $\chi_y$  и  $\chi_z$  тензора эффективной диэлектрической восприимчивости. Показано, что их зависимости от толщины жидкокристаллического слоя различаются между собой. Значение  $\chi_y$  расходится при приближении  $d$  к  $d_c$ . Функция  $\chi_z(d)$  при  $d = d_c$  имеет излом. При  $d > d_c$  функция  $\chi_y(d)$  является убывающей, а функция  $\chi_z(d)$  — возрастающая, поэтому при экспериментальных исследованиях эффективной диэлектрической восприимчивости может появиться один из этих результатов. Какой именно, зависит от того, как границы жидкокристаллической ячейки стремятся раскрутить спираль  $C^*\text{ЖК}$ . Если ось легкого ориентирования **c**-директора расположена в плоскости жидкокристаллической ячейки, то будет измерено значение  $\chi_y$ . Если ось легкого ориентирования **c**-директора перпендикулярна плоскости жидкокристаллической ячейки, то будет измерено значение  $\chi_z$ .

Работа выполнена при финансовой поддержке РФФИ (гранты №№ 13-02-00598-а, 15-59-32410-РТ-оми, 15-02-08269-а).

## ЛИТЕРАТУРА

1. R. B. Meyer, L. Liebert, L. Strzelecki, and P. Keller, J. de Phys. Lett. **36**, L-69 (1975).
2. P. G. de Gennes and J. Prost, *The Physics of Liquid Crystals*, Clarendon Press, Oxford (1993).
3. Л. М. Блинов, Л. А. Береснев, УФН **134**, 391 (1984).
4. L. M. Blinov and V. G. Chigrinov, *Electrooptic Effects in Liquid Crystal Materials*, Springer, New York (1994), Chap. 3.
5. Е. П. Пожидаев, М. А. Осипов, В. Г. Чигринов, В. А. Байкалов, Л. М. Блинов, Л. А. Береснев, ЖЭТФ **94**, 125 (1988).
6. S. V. Pasechnik, V. G. Chigrinov, and D. V. Shmeliov, *Liquid Crystals: Viscous and Elastic Properties*, WILEY-VCH Verlag GmbH & Co. KGaA, Weinheim (2009).
7. А. В. Казначеев, Е. П. Пожидаев, ЖЭТФ **141**, 1190 (2012).
8. Qi Guo, A. K. Srivastava, E. P. Pozhidaev, V. G. Chigrinov, and H. S. Kwok, Appl. Phys. Expr. **7**, 021701 (2014).
9. V. G. Chigrinov, *Liquid Crystal Devices: Physics and Applications*, Artech House, Boston, London (1999).
10. B. Urbanc, B. Zeks, and T. Carlsson, Ferroelectrics **113**, 219 (1991).
11. N. A. Clark and S. T. Lagerwall, Appl. Phys. Lett. **36**, 899 (1980).
12. M. Luban, D. Mukamel, and S. Shtrikman, Phys. Rev. A **10**, 360 (1974).
13. A. Rapini and M. J. Papoulier, J. de Phys. Colloq. **30**, C4 (1969).
14. E. Pozhidaev, S. Torgova, M. Minchenko, C. A. R. Yednak, A. Strigazzi, and E. Miraldi, Liq. Cryst. **37**, 1067 (2010).
15. С. А. Пикин, *Структурные превращения в жидкокристаллах*, Наука, Москва (1981).